

ارزیابی شاخص خرابی و کاهش مقاومت قاب خمshi بتن آرمه با استفاده از روش سطح پاسخ

مهمشی عمران شرشف، (پیاپی ۱۳۹۵) دوری ۲ - ۳، شماره ۱ / ۱ ص. ۱۴۰-۱۵۱، (پادشاهت ف)

علی خیرالدین (استاد)

دانشکده هندسی عمران، دانشگاه سمنان

علی جهان (استادیار)

گروه هندسی صنایع، واحد سمنان، دانشگاه آزاد اسلامی، سمنان، ایران

علیرضا بیطرف^{*} (دانشجوی دکتری)

دانشکده هندسی عمران، دانشگاه سمنان

بررسی تأثیر پارامترهای مختلف در رفتار سازه، همواره مورد توجه پژوهشگران بوده است. اما بررسی هم زمان این پارامترها نیاز به تحلیل آماری مناسب دارد. در این نوشتار، تأثیر هم زمان نسبت ابعاد ستون، آرماتور طولی، خاموت ها و ضربی محصورشدنگی بین در رفتار غیرخطی یک ساخته ای قاب خمshi بتن آرمه ۵ طبقه، تحت جابه جایی رفت و برگشتی با استفاده از نرم افزار غیرخطی IDARC تحلیل و با استفاده از روش سطح پاسخ مدل سازی شده است. نتایج نشان می دهد که بررسی جداگانه عوامل، به دلیل حذف اثرات متقابل، نتیجه های مطلوبی به دست نمی دهد. در محدوده هی رفتار خطی، شاخص خرابی تابعی از نسبت ابعاد ستون، آرماتور طولی، و ضربی محصورشدنگی است. اما در محدوده رفتار غیرخطی، فقط تابعی از آرماتور طولی و نسبت ابعاد ستون است. نسبت ابعاد ستون، آرماتور طولی و ضربی محصورشدنگی در میزان تغییرات سختی جانبی سازه تأثیرگذارند، ولی فاصله های خاموت ها تأثیری در آن ندارد. روابط به دست آمده، قابلیت تخمین شاخص خرابی را به طراح سازه می دهد.

kheyroddin@semnan.ac.ir
iran.alijahan@yahoo.com
a_bitraf@yahoo.com

واژگان کلیدی: رفتار غیرخطی، شاخص خرابی، قاب خمshi بتن آرمه، بارگذاری رفت و برگشتی، روش سطح پاسخ.

۱. مقدمه

تسليم آرماتور خاموت، تأثیر چندانی در میزان استهلاک انرژی ندارد.^[۱] همچنین در پژوهش دیگری در همان سال به مقایسه رفتار ستون ها در قاب های خمshi با شکل پذیری کم و متوسط تحت بارگذاری رفت و برگشتی پرداخته و نشان داده شده است که در جابه جایی جانبی کمتر از ۱٪ ارتفاع، میزان استهلاک انرژی در ستون های قاب خمshi با شکل پذیری متوسط بیشتر از قاب خمshi با شکل پذیری کم است.^[۲] در پژوهش دیگری در سال ۲۰۰۵ نیز به بررسی تأثیر طول مهاری آرماتور ستون پرداخته و نشان داده شده است که پوشش آرماتور، نقش اساسی در پاسخ سازه در ناحیه ای پس از تسليم ایفا می کند.^[۳] در پژوهش های ذکر شده، تأثیر نسبت ابعاد ستون و میزان آرماتور طولی آن در رفتار لرزه بی سازه بررسی نشده است. پژوهشگران دیگری نیز (۲۰۰۵)^[۴] به بررسی آزمایشگاهی تأثیر میزان آرماتور طولی تیرها و همچنین میزان مهار جانبی آنها در پاسخ اتصال تیر به ستون به بارگذاری رفت و برگشتی پرداخته و با ترسیم منحنی هیستوژنی پاسخ برش پایه بر حسب جابه جایی جانبی، کاهش سختی سازه نسبت به سختی اولیه در هر گام بارگذاری را به دست آورده اند. بررسی ایشان نشان داده است که در جابه جایی جانبی بیش از ۱۵٪ ارتفاع، سختی سازه به شدت کاهش می یابد و

تغییر ضوابط آینه های طراحی ایجاد می کند که رفتار سازه های بتن آرمه، که براساس آینه های پیشین طراحی شده اند و الزامات ویرایش جدید آینه را برآورده نمی کنند، مجدداً مورد بررسی قرار گرد. از سویی محدودیت های معماری، تمایل به استفاده از ستون های با عرض کم (مستطیلی) را نسبت به ستون های مربعی افزایش داده است. به همین دلیل در سال های اخیر، بررسی عوامل فوق بر عملکرد لرزه بی سازه های بتن آرمه، مورد توجه پژوهشگران زیادی قرار گرفته است.^[۵-۶]

پژوهش های انجام شده درخصوص رفتار لرزه بی قاب های بتن آرمه، عمدتاً تأثیر یک یا دو عامل را در رفتار لرزه بی قاب بررسی کرده و تأثیر تداخلی عوامل مختلف را بر هم به طور جامع بررسی نکرده اند. از جمله ای این موارد می توان به پژوهشی در سال ۲۰۰۳ اشاره کرد، که در آن نشان داده شده است که افزودن سنجاق ک یا خاموت لوزی به خاموت مربعی، میزان استهلاک انرژی را کاهش می دهد، ولی تنش

* نویسنده مسئول
تاریخ: دریافت ۱۴۰۲/۱۲/۲۴، اصلاحیه ۷/۴/۱۳۹۳، پذیرش ۱۶/۴/۱۳۹۳.

در این پژوهش، نیز برای درنظرگرفتن اثر هم زمان عوامل مؤثر در رفتار لرزه‌ی قاب خمشی بتن‌آرمه، از روش سطح پاسخ و نرم‌افزار آماری Design Expert ۷,۰ استفاده شده است. عواملی که در این نوشتار مطالعه شده‌اند، عبارت‌اند از: نسبت طول به عرض ستون‌ها، (برای بررسی تأثیر ابعاد ستون‌های مستطیلی در رفتار سازه) میران آرماتور طولی موجود در ستون‌ها، فاصله‌ی خاموت‌ها و میزان محصورشدنگی آرماتورهای طولی توسط خاموت‌ها. نتیجه‌ی این پژوهش، تعیین تأثیر عوامل فوق در شاخص خرابی و میران کاهش سختی سازه تحت بار رفت و برگشته است.

۲. فرایند و روش تحلیل

۱.۲. فرایند تحلیل

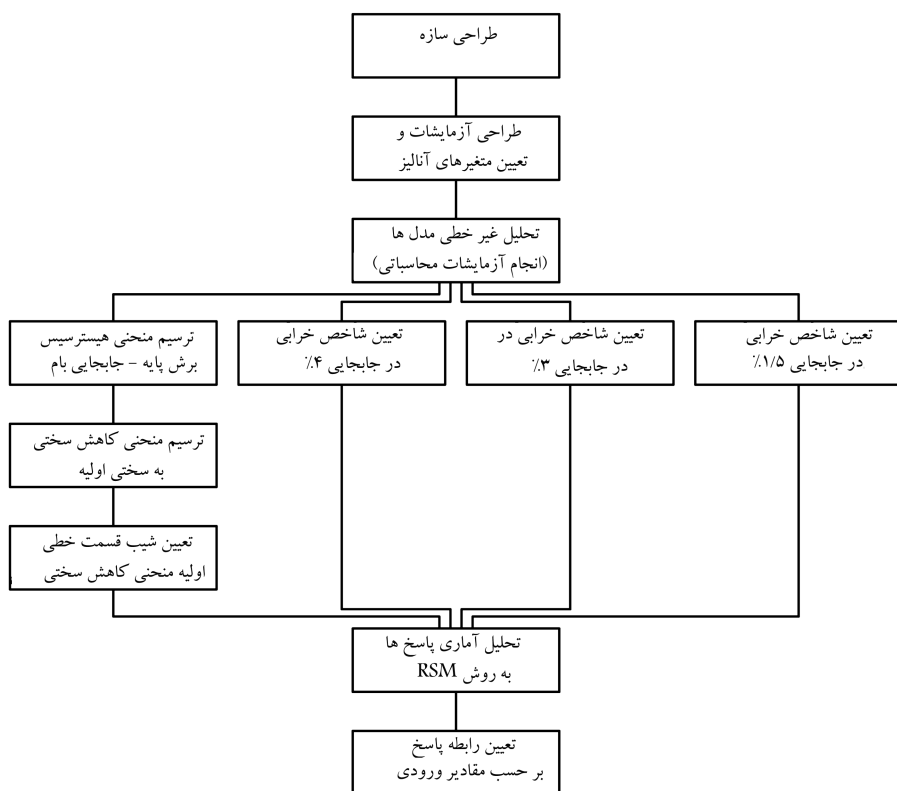
به منظور بررسی رفتار لرزه‌ی ساختمان‌های قاب خمشی بتن‌آرمه، یک الگوریتم تحلیل مطابق شکل ۱ در نظر گرفته شده است. در ابتدا مدل‌های اولیه بر مبنای آینه‌نامه‌ی CSA A ۲۳,۳-۰ ۴, [۱۱] و سپس آزمایش‌های مورد نیاز ۲۵ به روش RSM با نرم‌افزار Design Expert ۷,۰ طراحی شده‌اند (مجموعاً ۵۰ آزمایش محاسباتی). سپس ۲۵ مدل، منطبق بر آزمایش‌های طراحی شده برای برنامه‌ی IDARC-2D Version ۵,۵ غیرخطی ۵,۰ در استفاده از حجم بالای آزمایش‌های عددی (تحلیل ۴) عامل که هر یک در ۵ سطح تعریف شده‌اند، نیاز به انجام $4 \times 5 = 20$ آزمایش دارد، تجزیه و تحلیل تتابع و شناسایی هدفمند متغیرهای تأثیرگذار است. روش‌های طراحی آزمایش‌ها که در ابتدا برای استفاده در مهندسی کشاورزی ابداع شده است، امروزه در حد وسیعی در علوم فیزیک، مهندسی، پزشکی و جامعه‌شناسی، برای ارزیابی سیستم‌ها کاربرد دارد. [۱۲] روش‌های طراحی آزمایش‌ها در کاهش هدفمند تعداد آزمایش‌ها (به عنوان مثال تحلیل ۴ عامل، هر کدام در ۵ سطح، فقط با ۲۵ آزمایش در روش RSM) باعث شده است که در سال‌های اخیر، این روش‌ها در پژوهش‌های مختلف پیامون

تحلیل آماری نتایج حاصل با استفاده از نرم‌افزار Design Expert ۷,۰ انجام شده و با استفاده از نتایج آن، رابطه‌ی برای هر یک از مقادیر شاخص خرابی

منحنی هیستوژرسیس به حالت فشرده و گلوبی تیدیل می‌شود، که نشان‌دهنده‌ی رفتار غیرشکل‌پذیر است و این نتیجه به دست آمده است که این مسئله ناشی از ضعف سازه به دلیل محصورشدنگی ناکافی گره اتصال، پس از رخدادن ترک‌های گستردۀ در اتصال است. [۱۳]

در کلیه‌ی پژوهش‌های معرفی شده، تأثیر ۱ یا ۲ عامل در رفتار سازه بررسی شده است. تأثیر ۱ باعث می‌شود که تأثیرگذار باعث می‌شود که تأثیر متقابل عوامل در رفتار سازه قابل تشخیص نباشد، حال آنکه در دنیای رقبای امروز روش‌های کارآمدتری برای آزمون و ارزیابی هم‌زمان عوامل متعدد مورد نیاز است. استفاده از روش‌های طراحی آزمایش‌ها در این راستا، برای پرهیز از سعی و خطأ، شناسایی هدفمند مسیرهای بهبود می‌تواند بسیار مؤثر واقع شود. [۱۴] این نوشتار به چگونگی استفاده از روش سطح پاسخ (RSM)، که از روش‌های شناخته‌شده‌ی طراحی آزمایش‌هاست، درجهت افزایش کارآمدی مدل‌سازی عددی، آنالیز حساسیت متغیرها، و تحلیل تأثیر متقابل عوامل با هدف ایجاد یک سیستم مناسب پشتیبانی تصمیم‌گیری می‌پردازد. مشکل اصلی در انجام شبیه‌سازی‌های غیرساختاریافته، صرف‌نظر از حجم بالای آزمایش‌های عددی (تحلیل ۴) عامل که هر یک در ۵ سطح تعریف شده‌اند، نیاز به انجام $4 \times 5 = 20$ آزمایش دارد، تجزیه و تحلیل تتابع و شناسایی هدفمند متغیرهای تأثیرگذار است. روش‌های طراحی آزمایش‌ها که در ابتدا برای استفاده در مهندسی کشاورزی ابداع شده است، امروزه در حد وسیعی در علوم فیزیک، مهندسی، پزشکی و جامعه‌شناسی، برای ارزیابی سیستم‌ها کاربرد دارد. [۱۵] روش‌های طراحی آزمایش‌ها در کاهش هدفمند تعداد آزمایش‌ها (به عنوان مثال تحلیل ۴ عامل، هر کدام در ۵ سطح، فقط با ۲۵ آزمایش در روش RSM) باعث شده است که در سال‌های اخیر، این روش‌ها در پژوهش‌های مختلف پیامون

سازه‌های بتن‌آرمه به کرات مورد استفاده قرار گیرند. [۱۶-۱۷]

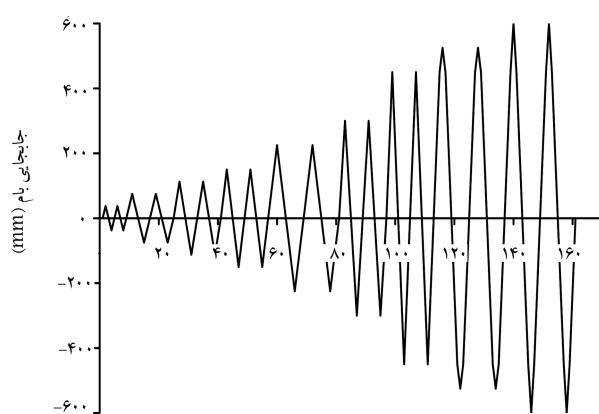


شکل ۱. الگوریتم تحلیل.

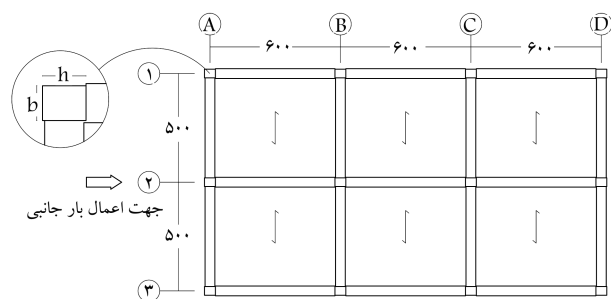
جدول ۱. مشخصات تیرها در مدل‌ها.

از نمره ۸ (cm)	پایین (cm)	بالا (cm)	عرض آرماتور طولی	ارتفاع فاصله‌ی خاموت	طبقه
۷,۵	۱۰	۲۰	۴۵	۴۰	۱
۷,۵	۱۱	۲۲	۴۵	۴۰	۲
۷,۵	۱۰	۲۰	۴۰	۴۰	۳
۷,۵	۸	۱۶	۴۰	۴۰	۴
۷,۵	۷	۱۱	۴۰	۴۰	۵

نسبت فاصله‌ی خاموت موجود به فاصله‌ی خاموت مورد نیاز ($12,5 \text{ cm}$), برابر با $Sp/Sp = ۰,۸, ۰,۹, ۱,۰, ۱,۱, ۱,۲$ و ضریب محصورشده‌ی بتون ستون نیز در ۵ حالت $CEFF = ۰,۵, ۰,۶۲۵, ۰,۷۵, ۰,۸۷۵, ۱$ مورد مطالعه قرار گرفته است. این ضریب برای مقاطع مستطیلی، در پژوهشی در سال ۱۹۸۸ ارائه شده و تابعی از فاصله‌ی خاموت‌ها، تعداد قلاب‌های خاموت، فاصله‌ی عرضی قلاب‌ها، مساحت داخل خاموت‌ها (مساحت محصورشده‌ی) و چگالی آرماتور طولی است.^[۲۴] مقدار $۰,۵$ ، نشان‌دهنده‌ی مقاطع با خاموت مستطیلی و مقدار $۱,۰$ نشان‌دهنده‌ی مقاطع با ترکیب خاموت مستطیلی و لوزی است. برای مدل سازی بتون از منحنی تنش - کرنش هونگستاد استفاده شده است. کرنش متناظر با $۰,۰۵$ برابر با $۰,۰۲$ و کرنش نهایی برابر با $۰,۰۰۳۵$ در نظر گرفته شده است. منحنی تنش - کرنش فولاد به صورت ۳ خطی (یا در نظر گرفتن سخت‌شدگی مجدد) در نظر گرفته شده است. مقاومت نهایی $۱/۴$ برابر تنش تسلیم و کرنش متناظر با شروع سخت‌شدگی مجدد برابر با $۰,۰۳$ در نظر گرفته شده است. از مدل هیسترتیک پارک،^[۲۵] برای کلیه‌ی المان‌ها استفاده شده است. در این مدل، از اثر گلوبی شدن صرف نظر شده و کاهش سختی و مقاومت در حد متوسط تعریف شده است.



شکل ۲. تاریخچه بارگذاری.



شکل ۳. هندسه‌ی سازه.

در جایه‌جایی‌های جانبی $۱/۵$ ٪، $۳/۳$ ٪ و $۴/۴$ ٪ و نیز کاهش سختی سازه بر حسب پارامترهای ورودی شامل: میزان آرماتور طولی، میزان خاموت، فاصله‌ی خاموت‌ها و میزان محصورشده‌ی به دست آمده است.

۲.۲. مشخصات مدل‌ها

با توجه به اینکه طیف وسیعی از ساختمان‌های با ارتفاع متوسط شامل ۵ طبقه هستند، لذا سازه‌ی مورد بررسی، یک ساختمان قاب خمشی ۳ دهانه‌ی ۵ طبقه با شکل پذیری متوسط است (شکل ۳). طول دهانه‌ی تیرها برابر با ۶ متر، فاصله‌ی قاب‌ها ۵ متر و ارتفاع طبقات ۳ متر است. این سازه منطقی بر آینین نامه‌ی طراحی سازه‌های بتون $CSA A23,3-۰$ طراحی شده است.^[۲۶] در کلیه‌ی مدل‌ها، تیرهای قاب‌های جانبی تحت بارگشتده‌ی دیوار و کف، مجموعاً برابر با $۲,۴ T/m$ و قاب میانی تحت بارگشتده‌ی T/m $۳/۵$ قرار دارد. بارگذاری زلزله بر مبنای ویرایش سوم استاندارد ۲۸۰۰ ایران، برای منطقه با زلزله‌خیزی شدید و بر روی خاک تیپ ۲ انجام شده است.^[۲۷] ضریب برش پایه برابر با $۰,۹۶$ است. مقاومت $۲۸ C = ۰,۹$ است. میزانی تحریک شده در کلیه‌ی مدل‌ها یکسان است. این روش میانی ویرایش سوم استاندارد ۲۸۰۰ ایران، برای منطقه با زلزله‌خیزی شدید و بر روی خاک تیپ ۲ انجام شده است. مشخصات تیرها در کلیه‌ی مدل‌ها یکسان و مطابق جدول ۱ است. برای ابعاد ستون‌ها، ۵ حالت با ممان اینرسی یکسان در نظر گرفته شده است (سختی کشسان کلیه‌ی مدل‌ها یکسان است). مشخصات کلیه‌ی ستون‌ها در جدول ۲ شرح داده شده است. دوره‌ی تناوب نخست کلیه‌ی مدل‌ها $T = ۱,۱۷ \text{ sec}$ است. علاوه بر ۵ حالت نسبت طول به عرض ستون است، که شامل مقادیر $۰,۵$ تا $۱,۰$ است. عامل ۲ یا B ضریب محصورشده‌ی بتون است، که مقادیر $۰,۵$ تا ۱ به آن اختصاص داده شده است. عامل ۳ یا C نسبت آرماتور طولی موجود به آرماتور طولی موردنیاز

جدول ۲. مشخصات ستون‌ها در مدل‌های مختلف.

نوع مدل	ستون کناری	$h/b = 1,5$			$h/b = 1,25$			$h/b = 1,0$			$h/b = 0,75$			$h/b = 0,5$		
		طول	عرض آرماتور	طول	عرض آرماتور	طول	عرض آرماتور	طول	عرض آرماتور	طول	عرض آرماتور	طول	عرض آرماتور	طول	عرض آرماتور	
		(cm ³)	(cm)	(cm)	(cm ³)	(cm)	(cm)	(cm ³)	(cm)	(cm)	(cm ³)	(cm)	(cm)	(cm ³)	(cm)	(cm)
T _A @T _B	۱	۲۳	۲۳,۲	۴۹,۸	۲۵	۲۸,۱	۴۷,۶	۲۵	۴۵	۴۵	۲۸	۵۵,۸	۴۱,۹	۳۰	۷۵,۱	۳۷,۸
	۲	۱۰	۲۲,۲	۴۹,۸	۱۲	۲۸,۱	۴۷,۶	۱۲	۴۵	۴۵	۱۴	۵۵,۸	۴۱,۹	۱۶	۷۵,۱	۳۷,۸
	۳	۱۰	۲۹,۵	۴۴,۳	۱۱	۲۳,۸	۴۲,۳	۱۰	۴۰	۴۰	۱۲	۴۹,۶	۳۷,۲	۱۶	۶۷,۳	۲۲,۶
	۴	۱۰	۲۹,۵	۴۴,۳	۱۱	۲۳,۸	۴۲,۳	۱۰	۴۰	۴۰	۱۲	۴۹,۶	۳۷,۲	۱۶	۶۷,۳	۲۲,۶
	۵	۱۰	۲۹,۵	۴۴,۳	۱۱	۲۳,۸	۴۲,۳	۱۰	۴۰	۴۰	۱۲	۴۹,۶	۳۷,۲	۱۶	۶۷,۳	۲۲,۶
T _A @T _M	۱	۳۰	۲۳,۲	۴۹,۸	۲۵	۲۸,۱	۴۷,۶	۲۹	۴۵	۴۵	۳۰	۵۵,۸	۴۱,۹	۳۳	۷۵,۱	۳۷,۸
	۲	۱۵	۲۳,۲	۴۹,۸	۱۵	۲۸,۱	۴۷,۶	۱۷	۴۵	۴۵	۱۸	۵۵,۸	۴۱,۹	۲۰	۷۵,۱	۳۷,۸
	۳	۱۲	۲۹,۵	۴۴,۳	۱۲	۲۳,۸	۴۲,۳	۱۴	۴۰	۴۰	۱۵	۴۹,۶	۳۷,۲	۱۷	۶۷,۳	۲۲,۶
	۴	۱۱	۲۹,۵	۴۴,۳	۱۰	۲۳,۸	۴۲,۳	۱۲	۴۰	۴۰	۱۳	۴۹,۶	۳۷,۲	۱۴	۶۷,۳	۲۲,۶
	۵	۸	۲۹,۵	۴۴,۳	۸	۲۳,۸	۴۲,۳	۸	۴۰	۴۰	۹	۴۹,۶	۳۷,۲	۱۱	۶۷,۳	۲۲,۶

جدول ۳. آنالیزهای لازم طبق روش سطح پاسخ.

D : Spc.	عامل ۴ C : long.	عامل ۳ B : Co	عامل ۲ A : h/b	عامل ۱	ردیف
۱/۱	۱/۱	۰,۸۷۵	۰,۷۵	۱	
۱	۱	۰,۷۵	۰,۵	۲	
۱/۱	۰,۹	۰,۸۷۵	۰,۷۵	۳	
۱	۱	۰,۷۵	۱,۵	۴	
۱	۱	۰,۷۵	۱	۵	
۰,۸	۱	۰,۷۵	۱	۶	
۰,۹	۱/۱	۰,۶۲۵	۱/۲۵	۷	
۱	۰,۸	۰,۷۵	۱	۸	
۰,۹	۰,۹	۰,۸۷۵	۱,۲۵	۹	
۱/۱	۱/۱	۰,۸۷۵	۱/۲۵	۱۰	
۱	۱	۱	۱	۱۱	
۰,۹	۰,۹	۰,۶۲۵	۰,۷۵	۱۲	
۰,۹	۰,۹	۰,۸۷۵	۰,۷۵	۱۳	
۰,۹	۱/۱	۰,۶۲۵	۰,۷۵	۱۴	
۱	۱/۲	۰,۷۵	۱	۱۵	
۱	۱	۰,۶۲۵	۱	۱۶	
۰,۹	۱/۱	۰,۸۷۵	۰,۷۵	۱۷	
۱/۱	۱/۱	۰,۶۲۵	۰,۷۵	۱۸	
۱/۱	۰,۹	۰,۶۲۵	۰,۷۵	۱۹	
۱/۱	۰,۹	۰,۶۲۵	۱/۲۵	۲۰	
۱/۱	۱/۱	۰,۶۲۵	۱/۲۵	۲۱	
۱/۲	۱	۰,۷۵	۱	۲۲	
۱/۱	۰,۹	۰,۸۷۵	۱/۲۵	۲۳	
۰,۹	۰,۹	۰,۶۲۵	۱/۲۵	۲۴	
۰,۹	۱/۱	۰,۸۷۵	۱/۲۵	۲۵	

طبق جدول ۲ است، که مقادیر $0,8$ تا $1,2$ را در بر می‌گیرد. عامل ۴ یا D نسبت فاصله‌ی خاموت موجود به فاصله‌ی خاموت لازم طبق جدول ۲ است، که این متغیر نیز بین $0,8$ تا $1,2$ تغییر می‌کند.

۴. تحلیل غیرخطی

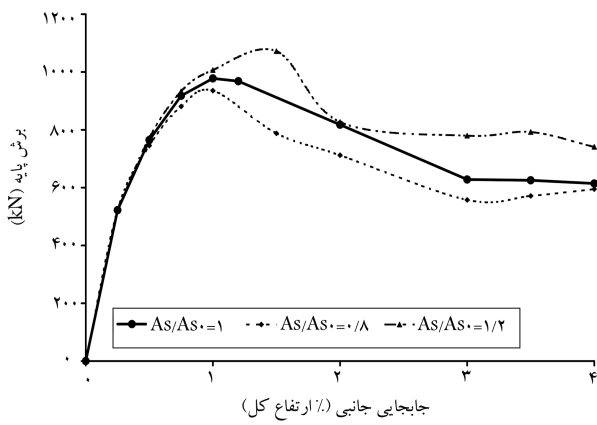
در این پژوهش برای انجام تحلیل غیرخطی از برنامه‌ی رایانه‌ی IDARC که نخستین بار در سال ۱۹۸۷ برای آنالیز غیرخطی سازه‌ها تدوین و سپس در سال‌های بعد توسعه داده شده است. نرم‌افزار مذکور به طور ویژه در مدل‌سازی رفتار غیرخطی سازه‌های بتن‌آرمه کارآمد است و ازویگی‌های آن، توانمندی در محاسبه‌ی شاخص خرابی پارک و انگ است.^[۲۵] در ویرایش چهارم این نرم‌افزار، براساس آخرین دستاوردهای پژوهش‌های آزمایشگاهی اصلاحات زیادی انجام شده است و به همین دلیل، نتایج آن انتباخت خوبی با نتایج آزمایشگاهی دارد.^[۲۶]

۲۵ مدل معرفی شده در جدول ۳، با نرم‌افزار IDARC مدل‌سازی و تحت بار قلای و جابه‌جایی جانی رفت و برگشتی مطابق شکل ۳، آنالیز غیرخطی روی آنها انجام شده است.

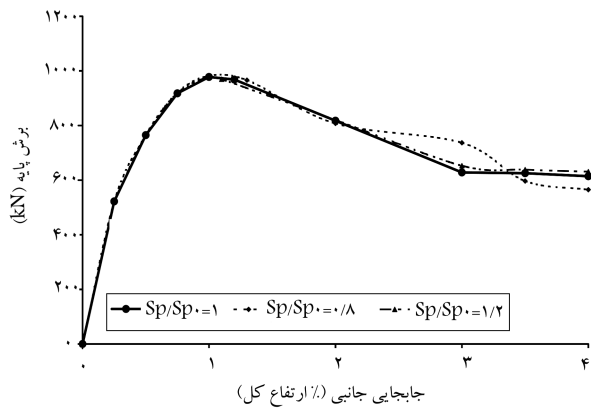
۳. نتایج تحلیل سازه‌ی

۳.۱. منحنی برش پایه بر حسب جابه‌جایی طبقه‌ی آخر برای کلیه‌ی مدل‌ها، منحنی هیسترزیس برش پایه بر حسب جابه‌جایی طبقه‌ی آخر ترسیم و پوش آن به دست آمده است، که یک نمونه از آن در شکل ۴ نشان داده شده است.

در شکل‌های ۵ الی ۸، پوش منحنی برش پایه بر حسب تغییرمکان بام برای مقایسه‌ی هر یک از عوامل ۴ که به تنهایی ترسیم شده است. همان‌طور که در شکل ۵ ملاحظه می‌شود، هم با افزایش طول به عرض و هم با کاهش نسبت طول به عرض، نسبت به حالت مربع‌شکل چرخه‌های هیسترزیس بزرگ‌تری تشکیل



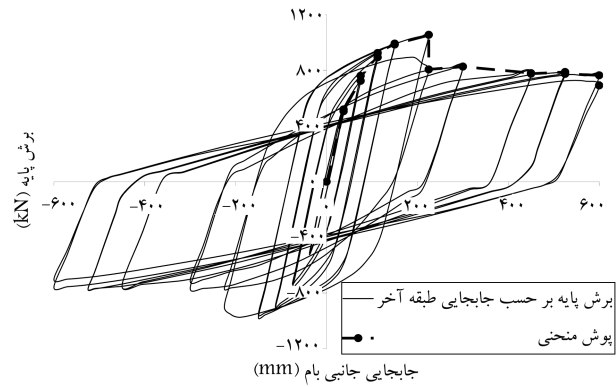
شکل ۷. پوش منحنی برش پایه بر حسب تغییرمکان بام برای نسبت‌های مختلف آرماتور طولی.



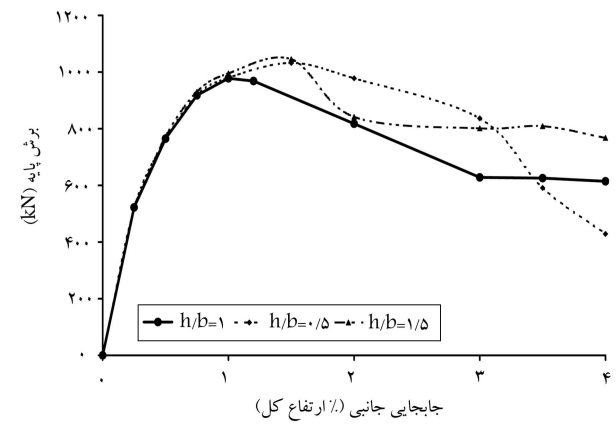
شکل ۸. پوش منحنی برش پایه بر حسب تغییرمکان بام برای نسبت‌های مختلف فاصله‌ی خاموت‌ها.

بازوی لنگر آرماتورهای طولی ستون‌ها در این نمونه‌هاست، که باعث افزایش مقاومت خمشی ستون‌های مذکور می‌شود.

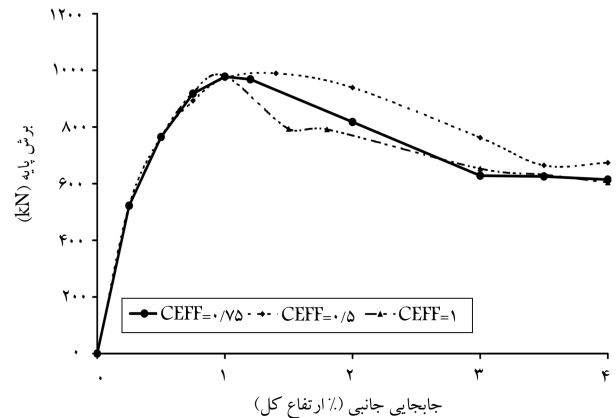
در شکل ۶ ملاحظه می‌شود که اگرچه با کاهش ضربی محصورشدنگی، حلقه‌های هیسترزیس بزرگ‌تری حاصل می‌شود، لیکن پوش منحنی‌های هیسترزیس در جابه‌جایی‌های بیشتر از ۳/۵٪، تقریباً بر هم منطبق هستند. در واقع در اثر افزایش جابه‌جایی‌جانبی، به دلیل ترک خودگی گستردگه در بتون، عملاً نقش محصورشدنگی کاهش می‌یابد. اما در جابه‌جایی‌های کمتر از ۳/۵٪، تأثیر مثبت محصورشدنگی در استهلاک انرژی قابل مشاهده است. در شکل ۷ ملاحظه می‌شود که افزایش آرماتور طولی باعث بزرگ‌ترشدن چرخه‌های هیسترزیس و بهبود رفتار سازه شده است. چرا که با افزایش میزان آرماتور طولی، ظرفیت محوری و خمشی ستون‌ها افزایش می‌یابد و ایجاد مفصل خمیری به تأخیر می‌افتد. همچنین همان‌طور که در شکل ۸ مشاهده می‌شود، پوش منحنی هیسترزیس با تغییر فاصله‌ی خاموت‌ها، تغییر چشانی نکرده است؛ به عبارتی تغییر در فاصله‌ی خاموت‌های ستون‌ها در محدوده‌ی مورد بررسی، اثر محسوسی در رفتار سازه ندارد. از شکل‌های ۵ الی ۸ مشخص می‌شود که هر یک از عوامل، تأثیر متفاوتی در منحنی هیسترزیس برش پایه بر حسب جابه‌جایی طبقه‌ی آخر دارد. لذا برای بررسی اثر متقابل عوامل فوق در رفتار سازه، باید از تحلیل آماری استفاده شود، که در ادامه به آن پرداخته شده است.



شکل ۴. منحنی برش پایه بر حسب جابه‌جایی طبقه‌ی آخر برای مدل با مشخصات: $h/b = 0.75$, $CEFF = 0.875$, $As/As_0 = 1/1$, $Sp/Sp_0 = 1/1$

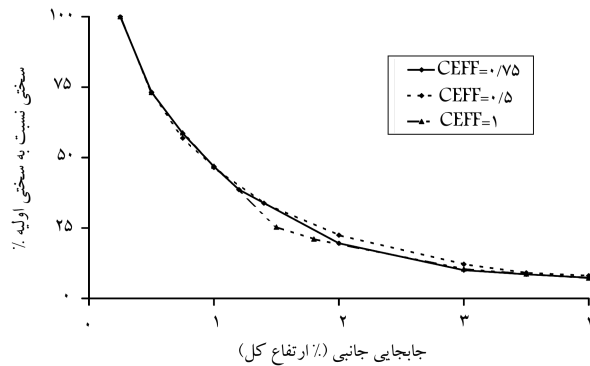


شکل ۵. پوش منحنی برش پایه بر حسب تغییرمکان بام برای نسبت‌های مختلف طول به عرض ستون.

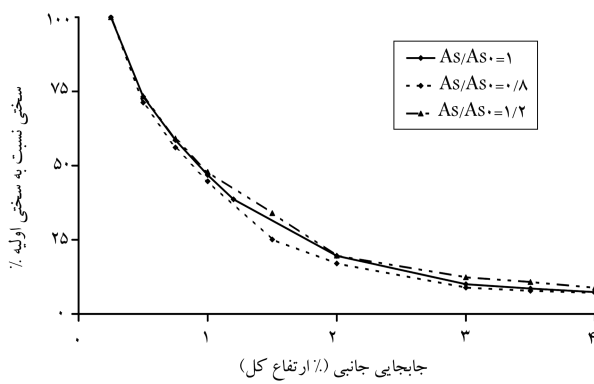


شکل ۶. پوش منحنی برش پایه بر حسب تغییرمکان بام برای نسبت‌های مختلف ضربی محصورشدنگی.

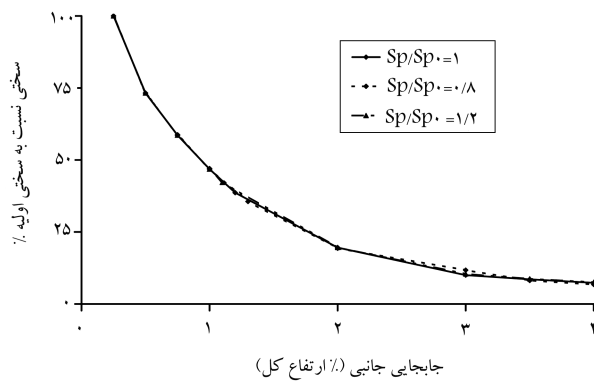
شده و رفتار سازه بهبود یافته است. البته درخصوص نسبت طول به عرض کوچک‌تر از واحد، به جهت برابر بودن مساحت بینری در کلیه‌ی مدل‌ها، مساحت ستون‌ها بیشتر است، که همین امر باعث بهبود رفتار شده است. همچنین در حالت $h/b = 0.5$ ، سختی سازه به سرعت کاهش یافته است؛ ولی در حالت $h/b = 1/5$ ، چنین مسئله‌ی رخ نداده است. بنابراین برای مدل با $h/b = 1/5$ ، علی‌رغم مساحت کمتر، بهترین رفتار حاصل شده است. این مسئله ناشی از افزایش



شکل ۱۱. منحنی کاهش سختی برای نسبت‌های مختلف ضریب محصورشدنگی.



شکل ۱۲. منحنی کاهش سختی برای نسبت‌های مختلف آرماتور طولی.



شکل ۱۳. منحنی کاهش سختی برای نسبت‌های مختلف فاصله‌ی خاموت‌ها.

بررسی، تأثیر چندانی در چگونگی کاهش سختی نداشته است. این نتایج با نتایج منحنی‌های پوش انتباق دارد.

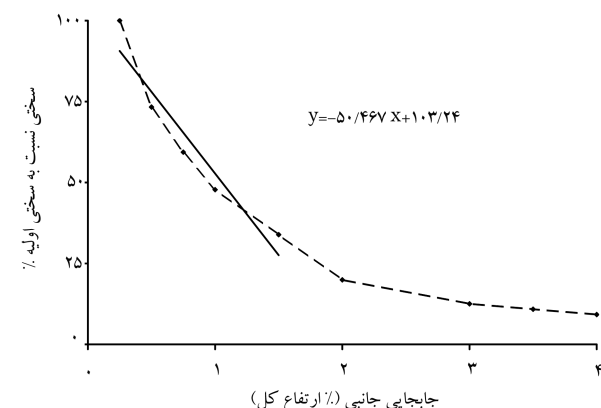
۳.۳. شاخص خرابی

شاخص خرابی کل، برای کلیه‌ی مدل‌ها طی ۳ مرحله در جابه‌جایی ۱/۵، ۱/۳ و ۰/۴ درصد ارتفاع کل توسط نرم‌افزار IDARC اندازه‌گیری شده است (جدول ۴). این شاخص خرابی که در پژوهشی در سال ۱۹۸۵ ارائه شده است، اثرات تغییرمکان جابه‌جایی و میزان انرژی مستهلك شده در انتهای اعضاء را مطابق رابطه‌ی ۱ در نظر می‌گیرد:^[۲۵]

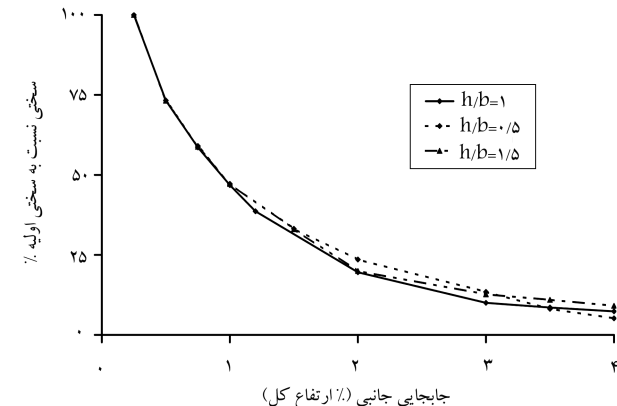
۲.۳. منحنی تغییرات سختی مدل نسبت به سختی اولیه

غیرهای نسبت سختی مدل به سختی اولیه، در هر گام بارگذاری برای کلیه‌ی مدل‌ها از روی منحنی هیسترزیس برش پایه بر حسب جابه‌جایی طبقه‌ی آخر تعیین و منحنی آن بر حسب تغییرمکان نسبی طبقه‌ی آخر ترسیم شده است. لازم به ذکر است که با توجه به یکسان بودن ممان اینرسی ستون‌ها و تیرها در کلیه‌ی مدل‌ها، سختی اولیه‌ی کلیه‌ی مدل‌ها یکسان است. همچنین به منظور بررسی آماری چگونگی کاهش سختی در مدل‌ها، شبیه قسمت خطی اولیه (محددوده‌ی تغییرمکان نسبی از ۰٪ تا ۱/۵٪ ارتفاع) با برآرash خطی بدست آمده است. یک نمونه از این منحنی در شکل ۹ نشان داده شده است.

در شکل‌های ۱۰ الی ۱۳، منحنی‌های تغییر سختی به سختی اولیه بر حسب تغییرمکان نسبی رسم شده است. در کلیه‌ی این منحنی‌ها، پس از جابه‌جایی ۱/۵٪ سختی سازه به شدت کاهش یافته و به حدود ۳۰٪ سختی اولیه رسیده است، که با نتایج پژوهش هوانگ و یون مشابه است.^[۱] و این به معنای اعتبار مدل شبیه‌سازی است. در شکل ۱۰ ملاحظه می‌شود که با افزایش نسبت طول به عرض، نزد کاهش سختی روند نزولی داشته است. در شکل ۱۱ مشاهده می‌شود که تغییرات ضریب محصورشدنگی تأثیر چندانی در چگونگی کاهش سختی ندارد. در شکل ۱۲ ملاحظه می‌شود که با افزایش میزان آرماتور طولی، نزد کاهش سختی کاهش یافته است. در شکل ۱۳ نیز مشاهده می‌شود که تغییرات فاصله‌ی خاموت‌ها در محددوده مورد



شکل ۹. منحنی تغییرات سختی به سختی اولیه برای مدل با مشخصات: $h/b = 0.75$, $CEFF = 0.875$, $AS/As = 1/1$, $Sp/Sp_0 = 1/1$.



شکل ۱۰. منحنی کاهش سختی برای نسبت‌های مختلف طول به عرض ستون.

جدول ۴. پاسخ‌های به دست آمده از آنالیز غیرخطی معرفی شده به نرم‌افزار برای تحلیل آماری.

ردیف	پاسخ ۱	پاسخ ۲	پاسخ ۳	پاسخ ۴	Stiff. Degra
	$DI_{Drift} = \% ۱,۵$	$DI_{Drift} = \% ۳$	$DI_{Drift} = \% ۴$	$DI_{Drift} = \% ۷$	
۱	۰,۱۸۲	۰,۳۷۳	۰,۴۰۷	۰,۴۶۷	۵۰,۴۶۷
۲	۰,۱۴۴	۰,۳۶۳	۰,۴۷۶	۰,۱۱۳	۵۱,۱۱۳
۳	۰,۲۱	۰,۵۳۶	۰,۷۰۹	۰,۱۷	۵۶,۰۱۷
۴	۰,۱۵۱	۰,۴۱	۰,۶۰۷	۰,۱۶۷	۵۱,۱۶۷
۵	۰,۱۷۴	۰,۴۷۵	۰,۷۴۶	۶۲,۴۷۲	۶۲,۴۷۲
۶	۰,۱۷۶	۰,۴۹۷	۰,۷۱۲	۵۹,۲۷۷	۵۹,۲۷۷
۷	۰,۱۶۴	۰,۳۱۳	۰,۴۲۵	۵۰,۳۰۳	۵۰,۳۰۳
۸	۰,۲۷۶	۰,۵۷۲	۰,۸۰۱	۵۶,۹۴۱	۵۶,۹۴۱
۹	۰,۱۹۳	۰,۴۵۳	۰,۵۹۱	۵۵,۸۵۱	۵۵,۸۵۱
۱۰	۰,۱۶۶	۰,۳۰۷	۰,۴۴۱	۵۰,۴۵	۵۰,۴۵
۱۱	۰,۱۷۶	۰,۴۴۵	۰,۷۵۶	۵۷,۰۲۸	۵۷,۰۲۸
۱۲	۰,۲۱۶	۰,۵۰۳	۰,۷۰۱	۵۳,۸	۵۳,۸
۱۳	۰,۲۳۳	۰,۵۷	۰,۸۰۶	۵۲,۹۵۱	۵۲,۹۵۱
۱۴	۰,۱۴	۰,۳۶۵	۰,۵۶	۴۹,۹۸	۴۹,۹۸
۱۵	۰,۱۷	۰,۳۴۲	۰,۴۷۹	۵۰,۴۰۵	۵۰,۴۰۵
۱۶	۰,۱۵۸	۰,۴۴۵	۰,۶۵۴	۵۵,۴۵۶	۵۵,۴۵۶
۱۷	۰,۱۷۷	۰,۳۴۱	۰,۴۶۷	۵۰,۳۹۲	۵۰,۳۹۲
۱۸	۰,۱۵۳	۰,۳۵۸	۰,۴۵۴	۵۰,۰۹۸	۵۰,۰۹۸
۱۹	۰,۲	۰,۳۹۵	۰,۷۱۲	۵۳,۲۵	۵۳,۲۵
۲۰	۰,۱۸۳	۰,۴۴۳	۰,۶۰۹	۵۳,۸۵۸	۵۳,۸۵۸
۲۱	۰,۱۶۱	۰,۳	۰,۴۶	۵۰,۳۷۵	۵۰,۳۷۵
۲۲	۰,۱۸۴	۰,۴۹۱	۰,۷۵۲	۶۵,۳۲۳	۶۵,۳۲۳
۲۳	۰,۲۰۱	۰,۴۸۵	۰,۶۳۶	۵۵,۹۷۷	۵۵,۹۷۷
۲۴	۰,۱۹۹	۰,۴۹۵	۰,۶۳۱	۵۵,۷۸۲	۵۵,۷۸۲
۲۵	۰,۱۶۷	۰,۳۲۴	۰,۴۶۱	۵۰,۳۵۲	۵۰,۳۵۲

متقابل عوامل از روش آماری سطح پاسخ استفاده و این نتایج حاصل شده است.

۱.۴. تخمین شاخص خرابی در جایه‌جایی٪

با استفاده از نتایج آنالیز برای تعیین رابطه بین شاخص خرابی در جایه‌جایی جانبی ۱/۵٪، با عوامل تأثیرگذار در آن، منحنی درجه دو شامل جملات اصلی، AC , AB , C , B , A , D , BC , CD و BD و جملات اثر متقابل AD و BC برای مدل‌سازی در نرم‌افزار Design Expert تعریف و تحلیل واریانس با سطح معنی‌داری $\alpha = ۰,۱$ انجام شده است، که نتایج آن مطابق جدول ۵ است.

$$DI = \frac{d_m}{d_u} + \frac{\beta}{V_y d_u} \int dE_h \quad (1)$$

که در آن، d_u ظرفیت تغییرشکل تحت بارگذاری یکنواخت، d_m تغییرمکان تحت بارگذاری دینامیکی، V_y مقاومت تسلیم، dE_h انرژی مستهلاک شده و β یک ضریب بی‌بعد مشتبث است.

۴. نتایج تحلیل آماری

مقادیر شاخص خرابی و شبیه منحنی کاهش سختی نسبی به عنوان پاسخ در تحلیل RSM تعریف شده‌اند، که نتایج آن در جدول ۴ ارائه شده است. به منظور بررسی اثر

جدول ۵. نتیجه‌ی اولیه‌ی آزمون ANOVA برای شاخص خرابی در جابه‌جایی ۱/۵٪.

P-value	Prob>F	F-value	Mean square	df	Sum of squares	source
۰,۰۰۰۱		۱۲,۷۸	۱,۴۶۲E - ۳	۱۴	۰,۰۲۰	model
۰,۳۰۸۸		۱,۱۵	۱,۳۱۶E - ۴	۱	۱,۳۱۶E - ۴	A : h/b
۰,۰۲۹۸		۶,۴۱	۷,۳۳۸E - ۴	۱	۷,۳۳۸E - ۴	B : co
< ۰,۰۰۰۱		۹۳,۹۳	۰,۰۱۱	۱	۰,۰۱۱	C : long.
۰,۷۹۸۳		۰,۰۶۹	۷,۸۸۱E - ۶	۱	۷,۸۸۱E - ۶	D : spc.
۰,۱۱۳۶		۳,۰۱	۲,۴۴۱E - ۴	۱	۲,۴۴۱E - ۴	AB
۰,۱۳۰۸		۲,۷۱	۲,۰۹۹E - ۴	۱	۲,۰۹۹E - ۴	AC
۰,۷۸۵۰		۰,۰۷۹	۸,۹۸۴E - ۴	۱	۸,۹۸۴E - ۶	AD
۰,۱۵۸۹		۳	۲,۶۵۲E - ۴	۱	۲,۶۵۲E - ۴	BC
۰,۹۸۵۴		۳,۵۰۱E - ۴	۴,۰۰۶E - ۸	۱	۴,۰۰۶E - ۸	BD
۰,۱۷۱۸		۲,۱۷	۲,۴۷۹E - ۴	۱	۲,۴۷۹E - ۴	CD
۰,۰۷۹۱		۳,۸۲	۴,۳۷۳E - ۴	۱	۴,۳۷۳E - ۴	A ^r
۰,۸۲۹۳		۰,۰۴۹	۵,۶۰۸E - ۶	۱	۵,۶۰۸E - ۶	B ^r
۰,۰۰۰۶		۲۴,۰۶	۲,۷۵۳E - ۳	۱	۲,۷۵۳E - ۳	C ^r
۰,۳۹۸۸		۰,۷۸	۸,۸۸۹E - ۵	۱	۸,۸۸۹E - ۵	D ^r
		۱,۱۴۴E - ۴	۱۰	۱,۱۴۴E - ۴	Residual	
			۲۴	۰,۰۲۲	Cor Total	

جدول ۶. نتیجه‌ی آزمون نهایی ANOVA برای شاخص خرابی در جابه‌جایی ۱/۵٪.

P-value	Prob>F	F value	Mean square	df	Sum of squares	source
< ۰,۰۰۰۱		۳۰,۳۸	۲,۸۴۲E - ۳	۵	۰,۰۱۹	model
۰,۳۰۹۶		۰,۰۹	۱,۳۷۹E - ۴	۱	۱,۳۷۹E - ۴	A : h/b
۰,۰۱۱۵		۷,۸۲	۹,۸۹۷E - ۴	۱	۹,۸۹۷E - ۴	B : co
< ۰,۰۰۰۱		۹۶,۸۱	۰,۰۱۲	۱	۰,۰۱۲	C : long.
۰,۰۱۳۱		۷,۴۹	۹,۴۶۹E - ۴	۱	۹,۴۶۹E - ۴	A ^r
< ۰,۰۰۰۱		۳۱,۰۶	۲,۲۹۲E - ۳	۱	۲,۲۹۲E - ۳	C ^r
		۱,۲۶۰E - ۴	۱۹	۱,۲۶۰E - ۴	Residual	
			۲۴	۰,۰۲۲	Cor Total	

با استفاده از نتایج آنالیز، شاخص خرابی در جابه‌جایی ۱/۵٪ بر حسب پارامترهای $AC, AB, D, A, BC, AD, B^r$ و D^r بزرگتر از ۱٪ است و لذا در سطح معنی‌داری ۰,۰۵ رودی به صورت رابطه‌ی ۲ تخمین زده شده است:

$$\text{Damage Index}_{Drift=1\%,5} = ۱,۵۸۹۰۳ + ۰,۱۹۵۸۵ \frac{h}{b}$$

$$+ ۰,۰۴۳۵۳۹ CEFF - ۲,۸۵۳۰۶ \frac{As}{As_s}$$

$$- ۰,۱۰۲۷۲ \left(\frac{h}{b} \right)^2 + ۱,۳۱۳۵۲ \left(\frac{As}{As_s} \right)^2 \quad (2)$$

که در آن، مقدار R^2 Adjusted برابر با ۸۶٪ است. به عبارتی ۸۶٪ تغییرات در

از جدول ۵ ملاحظه می‌شود که مقادیر P برای جملات A, D, A, BC, AD و B^r بزرگتر از ۱٪ است و لذا در سطح معنی‌داری $\alpha = ۰,۰۵$ مهم تشخیص داده نشده‌اند.

لذا در گام دوم، جملات فوق از تابع پاسخ حذف و مجدد تحلیل واریانس انجام و مقادیر P بررسی شده‌اند. البته با توجه به تشخیص تأثیرگذار بودن توان دوم A (یعنی A^r) در مدل نهایی، به جهت رعایت اصول مدل‌سازی، جمله‌ی A نیز در مدل ریاضی حفظ شده است؛ هر چند که آن بیش از ۱٪ است. در نهایت، مدل قابل قبول، مطابق جدول ۶ بودست آمده است.

جدول ۷. نتیجه‌های آزمون ANOVA برای شاخص خرابی در جابه‌جایی ۳٪.

P-value	Prob>F	F value	Mean square	df	Sum of squares	source
< 0.0001		۲۷.۵۱	۰.۱۳	۱	۰.۱۳	model
< 0.0001		۷۳.۵۱	۰.۱۳	۱	۰.۱۳	C : long.
		۱/۷۵۴E - ۲	۰.۰۴۰	۲۳	۰.۰۴۰	Residual
			۰.۱۷	۲۴	۰.۱۷	Cor Total

جدول ۸. نتیجه‌های آزمون ANOVA برای شاخص خرابی در جابه‌جایی ۴٪.

P-value	Prob>F	F value	Mean square	df	Sum of squares	source
< 0.0001		۱۶.۷۶	۰.۰۹۲	۳	۰.۲۸	model
۰.۲۲۸۰		۱.۵۴	۱/۴۳۷E - ۳	۱	۱/۴۳۷E - ۳	A : h/b
< 0.0001		۴۰.۷۹	۰.۲۲	۱	۰.۲۲	C : long.
۰.۰۱۰۲		۷.۹۷	۰.۰۴۴	۱	۰.۰۴۴	A ^t
		۰/۴۷۰E - ۳	۰.۱۱	۲۱	۰.۱۱	Residual
			۰.۳۹	۲۴	۰.۳۹	Cor Total

$$\text{Damage Index}_{Drift=7\%} = 0.90215 + 0.61212 \frac{h}{b} \\ - 0.73292 \frac{As}{As_s} - 0.33331 \left(\frac{h}{b} \right)^2$$

$$\text{Adjusted } R^2 = 0.83 \quad (3)$$

۳.۴. تخمین شاخص خرابی در جابه‌جایی ۴٪

با استفاده از نتایج آنالیز آزمون ANOVA انجام شده است، که نتایج نهایی آن در جدول ۸ ارائه شده است.

با استفاده از نتایج آنالیز رابطه‌ی شاخص خرابی در جابه‌جایی ۴٪ بر حسب پارامترهای ورودی عبارت از رابطه‌ی ۴ است:

$$\text{Damage Index}_{Drift=7\%} = 1.01888 + 1.26203 \frac{h}{b} \\ - 0.96417 \frac{As}{As_s} - 0.68851 \left(\frac{h}{b} \right)^2$$

$$\text{Adjusted } R^2 = 0.66 \quad (4)$$

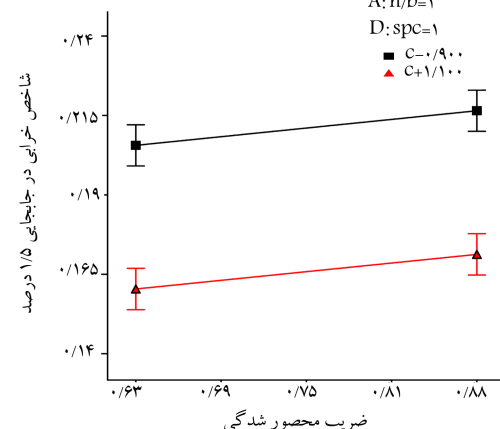
۴. تخمین شیب کاهش سختی سازه

با استفاده از نتایج آنالیز، نتایج آزمایش ANOVA در جدول ۹ ارائه شده است.

با استفاده از نتایج آنالیز رابطه‌ی شیب کاهش سختی سازه بر حسب پارامترهای ورودی به صورت رابطه‌ی ۵ است:

$$\frac{1}{\sqrt{\text{Stiffness Degradation}}} = 0.43812 - 0.10756 \frac{h}{b} \\ - 0.14893 CEFF - 0.42251 \frac{As}{As_s} + 0.053433 \left(\frac{h}{b} \right)^2 \\ - 0.094712 \left(CEFF \right)^2 + 0.22601 \left(\frac{As}{As_s} \right)^2$$

$$\text{Adjusted } R^2 = 0.71 \quad (5)$$



شکل ۱۴. نمایش مفهوم آثار متقابل نسبت آرماتور طولی و ضربی محصورشده در شاخص خرابی در جابه‌جایی ۱/۵٪.

شاخص خرابی با جابه‌جایی ۱/۵٪ با فرمول ارائه شده، قابل پیش‌بینی است. نزدیک به ۱ بودن عدد مذکور، نشان دهنده‌ی عدم تأثیر پذیری یا تأثیر پذیری کم این پارامتر از سایر عوامل (متغیرهای بررسی شده) است. به عنوان یک نمونه از اثر تداخلی عوامل، تأثیر نسبت آرماتور طولی و ضربی محصورشده‌ی در شاخص خرابی در جابه‌جایی ۱/۵٪، در شکل ۱۴ ترسیم شده است.

۲.۴. تخمین شاخص خرابی در جابه‌جایی ۳٪

با استفاده از نتایج آنالیز مشابه بخش قبل، آزمون ANOVA انجام شده است، که نتایج نهایی آن در جدول ۷ ارائه شده است.

با استفاده از نتایج آنالیز برای تخمین شاخص خرابی در جابه‌جایی ۳٪ بر حسب پارامترهای ورودی از رابطه‌ی ۳ استفاده شده است:

جدول ۹. نتیجه‌های آزمایش ANOVA برای شبکه کاکشن سختی سازه.

P-value	Prob>F	F value	Mean square	df	Sum of squares	source
< ۰,۰۰۰۱	۱۰,۷۶	۷,۵۴۶E - ۵	۶	۴,۵۲۷E - ۴		model
۰,۷۵۳۸	۰,۱۰	۷,۱۱۵E - ۷	۱	۷,۱۱۵E - ۷		A : h/b
۰,۱۱۲۴	۲,۷۹	۱,۹۵۵E - ۵	۱	۱,۹۵۵E - ۵		B : co
< ۰,۰۰۰۱	۲۸,۶۹	۲,۰۱۳E - ۴	۱	۲,۰۱۳E - ۴		C : long.
< ۰,۰۰۰۱	۳۳,۲۲	۲,۳۳۰E - ۴	۱	۲,۳۳۰E - ۴		A ^t
۰,۰۰۰۴	۱۰,۵۷	۷,۴۱۵E - ۵	۱	۷,۴۱۵E - ۵		B ^t
۰,۰۰۰۸	۱۶,۱۷	۱,۱۳۴E - ۴	۱	۱,۱۳۴E - ۴		C ^t
		۷,۰۱۵E - ۶	۱۸	۱,۲۶۳E - ۴		Residual
			۲۴	۵,۷۹۰E - ۴		Cor Total

به عنوان یک نمونه، اثر تداخلی نسبت طول به عرض و ضریب محصورشدنگی بتن در کاکشن سختی در شکل ۱۵ ترسیم شده است، که در آن محورهای افقی، نسبت طول به عرض ستون و ضریب محصورشدنگی بتن و محور قائم، شبکه منحنی تغییرات سختی است.

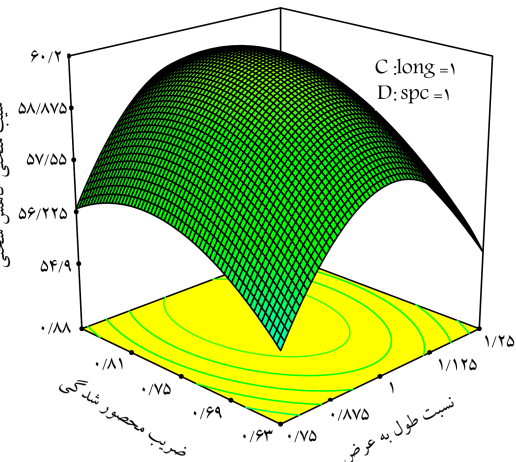
۵. مقایسه‌ی نتایج و تفسیر

رابطه‌ی به دست آمده برای تخمین شاخص خرابی در جابه‌جایی جانبی ۱/۵٪ ارتفاع سازه (رابطه‌ی ۲)، که نشان‌دهنده‌ی رفتار خطی سازه است و طی آن تعداد مفاصل خمیری ایجاد شده در اعضاء ناچیز است، به پارامترهای نسبت طول به عرض ستون، ضریب محصورشدنگی و میزان آرماتور طولی بستگی دارد، ولی به فاصله‌ی خاموت‌ها در ستون بستگی ندارد. رابطه‌ی مذکور نشان می‌دهد که افزایش ضریب محصورشدنگی، باعث افزایش شاخص خرابی می‌شود. در پژوهشی در سال ۲۰۰۳ نیز محققان به نتیجه‌ی مشابهی دست یافته‌اند.^[۷]

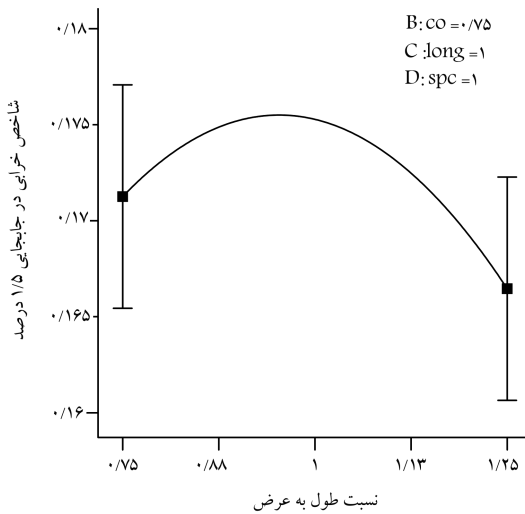
همچنین رابطه‌ی ۲ نشان می‌دهد که با افزایش یا کاهش نسبت طول به عرض ستون، نسبت به عدد ۱ (مربع)، شاخص خرابی کاهش می‌یابد (شکل ۱۶). باید توجه داشت که به دلیل یکسان‌بودن میان اینرسی ستون‌ها در کلیه‌ی مدل‌ها، در حالت‌های با نسبت طول به عرض کوچک‌تر از ۱، مساحت ستون‌ها بیشتر است و کاهش شاخص خرابی به همین دلیل است. لذا مدل‌های با نسبت طول به عرض بزرگ‌تر از ۱، علی‌رغم مساحت کمتر، رفتار بهتری از خود نشان می‌دهند. همان‌طور که قبل اشاره شده است، این مسئله ناشی از افزایش بازوی لنگر آرماتورهاست.

اما در جابه‌جایی‌های جانبی ۳٪ و ۴٪ ارتفاع، شاخص خرابی فقط تابع میزان آرماتور طولی و نسبت ابعاد ستون است، و فاصله‌ی خاموت‌ها و ضریب محصورشدنگی در شاخص خرابی تأثیری ندارند. همان‌طور که قبل اشاره شده است، گسترش ترک در بتن اثر محصورشدنگی را کاهش می‌دهد. روابط مشخص می‌کنند که با افزایش میزان آرماتور طولی، شاخص خرابی کاهش می‌یابد.

از سوی دیگر رابطه‌ی به دست آمده برای تخمین کاهش سختی نشان می‌دهد که معکوس مجذور کاهش سختی با نسبت طول به عرض ستون، ضریب محصورشدنگی و میزان آرماتور طولی موجود در ستون رابطه داشته و فاصله‌ی خاموت‌هاست.



شکل ۱۵. اثر تؤام غیرخطی نسبت طول به عرض و ضریب محصورشدنگی در شبکه منحنی تغییرات سختی.



شکل ۱۶. تغییرات شاخص خرابی در جابه‌جایی ۱/۵٪ در اثر تغییرات نسبت طول به عرض.

ستون، میزان آرماتور طولی و ضریب محصورشدنگی است. با افزایش آرماتور طولی، شاخص خرابی کاهش می‌یابد، ولی با افزایش ضریب محصورشدنگی شاخص خرابی افزایش می‌یابد.

ج) در محدوده‌ی رفتار غیرخطی، شاخص خرابی فقط تابعی از میزان آرماتور طولی و نسبت ابعاد ستون است و تأثیر سایر عوامل ناچیز است. با افزایش آرماتور طولی، شاخص خرابی کاهش می‌یابد.

د) نسبت طول به عرض ستون، میزان آرماتور طولی ستون و ضریب محصورشدنگی در میزان تغییرات سختی تأثیرگذارند، ولی فاصله‌ی خاموت‌های ستون‌ها تأثیری در آن ندارد.

از آنجایی که به‌طور معمول در طراحی سازه‌های با ارتفاع متوسط از آنالیز غیرخطی استفاده نمی‌شود، لذا روابط ارائه شده در این پژوهش به طراحی سازه‌کمک می‌کند که پیش‌بینی اولیه‌ی مناسبی از شاخص خرابی سازه در محدوده‌ی غیرخطی به‌دست آورد.

تأثیری در آن ندارد. این نتایج با نتایج بدست‌آمده از بررسی شاخص خرابی در انطباق است.

در کلیه‌ی روابط بدست‌آمده برای شاخص‌های خرابی و نیز کاهش سختی ملاحظه می‌شود که فاصله‌ی خاموت‌های ستون، تأثیری در پاسخ سازه ندارند. دلیل این مسئله، تشکیل عموم مقاصل خمیری در تیرهای است.

۶. نتیجه‌گیری

نتایج بدست‌آمده نشان می‌دهند که:

الف) روش تحلیل آماری سطح پاسخ، روش کارآمدی برای تحلیل نتایج است، خصوصاً اینکه امکان بررسی تأثیرات متقابل عوامل فراهم می‌شود.

ب) در محدوده‌ی رفتار خطی، شاخص خرابی تابعی از نسبت طول به عرض

پابلوشت

1. response surface method (RSM)

(References) منابع

- Tena-Colunga, A., Correa-Arizmendi, H., Luna-Arroyo, J.L. and Gatica-Aviles, G. "Seismic behavior of code-designed medium rise special moment-resisting frame RC buildings in soft soils of Mexico city", *Engineering Structures*, **30**(12), pp. 3681-3707 (2008).
- Benavent-Climent, A. and Zahran, R. "An energy-based procedure for the assessment of seismic capacity of existing frames: Application to RC wide beam systems in Spain", *Soil Dynamics and Earthquake Engineering*, **30**(5), pp. 354-367 (2010).
- Mehannay, S.S.F. and El Howary, H.A. "Assessment of RC moment frame buildings in moderate seismic zones: Evaluation of egyptian seismic code implications and system configuration effects", *Engineering Structures*, **32**(8), pp. 2394-2406 (2010).
- Karayannidis, C.G., Fawata, M.J. and Kakaltsis, D.J. "Seismic behaviour of infilled and pilotis RC frame structures with beam–column joint degradation effect", *Engineering Structures*, **33**(10), pp. 2821-2831 (2011).
- Duan, H. and Hueste, M.B.D. "Seismic performance of a reinforced concrete frame building in China", *Engineering Structures*, **41**, pp. 77-89 (2012).
- Hwang, S.K. and Yun, H.D. "Effects of transverse reinforcement on flexural behaviour of high strength concrete columns", *Engineering Structures*, **26**(1), pp. 1-12 (2004).
- Han, S.W. and Jee, N.Y. "Seismic behaviors of columns in ordinary and intermediate moment resisting concrete frames", *Engineering Structures*, **27**(6), pp. 951-962 (2005).
- Fabbrocino, G., Verderame, G.M. and Manfredi, G. "Experimental behaviour of anchored smooth rebars in old type reinforced concrete buildings", *Engineering Structures*, **27**(10), pp. 1575-1585 (2005).
- Yin, H., Irawan, P., Pan, T.C. and Lim, C.H. "Behavior of full scale lightly reinforced concrete interior beam-column joints under reversed cyclic loading", *Structural Engineering, Mechanics and Computation*, **2**, pp. 985-992 (2001).
- Kleijnen, J.P. "An overview of the design and analysis of simulation experiments for sensitivity analysis", *European Journal of Operational Research*, **164**(2), pp. 287-300 (2005).
- Nowak, A.S. and Cho, T. "Prediction of the combination of failure modes for an arch bridge system", *Journal of Constructional Steel Research*, **63**(12), pp. 1561-1569 (2007).
- Gayton, N., Bourinet, J.M. and Lemaire, M. "CQ2RS: A new statistical approach to the response surface method for reliability analysis", *Structural Safety*, **25**(1), pp. 99-121 (2003).
- Cho, T. "Prediction of cyclic freeze-thaw damage in concrete structures based on response surface method", *Construction and Building Materials*, **21**(12), pp. 2031-2040 (2007).
- Wong, S.M., Hobbs, R.E. and Onof, C. "An adaptive response surface method for reliability analysis of structures with multiple loading sequences", *Structural Safety*, **27**(4), pp. 287-308 (2005).
- Bouazizia, M.L., Ghanmia, S. and Bouhaddib, N. "Multi-objective optimization in dynamics of the structures with nonlinear behavior: Contributions of the meta models", *Finite Elements in Analysis and Design*, **45**(10), pp. 612-623 (2009).
- Buratti, N., Ferracuti, B. and Savoia, M. "Response surface with random factors for seismic fragility of reinforced concrete frames", *Structural Safety*, **32**(1), pp. 42-51 (2010).

17. Long, N. and Lee, M. "Dividing wall column structure design using response surface methodology", *Computers and Chemical Engineering*, **37**, pp. 119-124 (2012).
18. Su, C. and Zheng, C. "Probabilistic fracture mechanics analysis of linear-elastic cracked structures by spline fictitious boundary element method", *Engineering Analysis with Boundary Elements*, **36**(12), pp. 1828-1837 (2012).
19. Kallias, A.N. and Rafiq, M.I. "Performance assessment of corroding RC beams using response surface methodology", *Engineering Structures*, **49**, pp. 671-685 (2013).
20. Naceur, H., Shiri, H., Coutellier, D. and Batoz, J.L. "On the modeling and design of composite multilayered structures using solid-shell finite element model", *Finite Elements in Analysis and Design*, **70-71**, pp. 1-14 (2013).
21. *Design of Concrete Structured (CSA A23.3-04)*, Canadian Standards Association (2004).
22. Valles, R.E., Reinhorn, A.M., Kunnath, S.K., Li, C. and Madan, A., *IDARC 2D Version 4.0: A Program for the Inelastic Damage Analysis of Buildings*, National Center for Earthquake Engineering Research, State University of New York at Buffalo (1996).
23. *Iranian Code of Practice for Seismic Resistant Design of Buildings*, Standard No. 2800-05 (3rd Edition) (2005).
24. Mander, J.B., Priestley, M.J.N. and Park, R. "Theoretical stress-strain model for confined concrete", *Journal of Structural Engineering*, **114**(8), pp. 1804-1826 (1988).
25. Park, Y.J. and Ang, H.S. "Mechanistic seismic damage model for reinforced concrete", *ASCE, J. Struct. Eng.*, **111**(4), pp. 722-739 (1985)
26. Myers, R.H., Montgomery, D.C. and Anderson-Cook, C.M., *Response Surface Methodology: Process and Product Optimization Using Designed Experiments*, John Wiley & Sons, 704 p. (2009).